

•临床研究•

[文章编号] 1007-3949(2008)16-09-0732-03

基质金属蛋白酶 9 基因多态性与 2 型糖尿病 颈动脉粥样硬化的相关性

潘勇翔¹, 梁丽萍², 刘健翔³

(1. 桂林市第二人民医院心血管科, 桂林医学院 2. 附属医院急诊科, 3. 生物工程研究所, 广西桂林市 541001)

[关键词] 内科学; 2型糖尿病; 基质金属蛋白酶 9; 基因多态性; 动脉粥样硬化

[摘要] 目的 探讨基质金属蛋白酶 9 基因 C1562T 多态性与 2 型糖尿病患者颈动脉粥样硬化的关系。方法 以中国广西桂林地区汉族人群 158 例为研究对象, 包括 60 例健康对照者和 98 例 2 型糖尿病患者(其中非颈动脉粥样硬化者 36 例, 合并颈动脉粥样硬化者 62 例), 采用聚合酶链反应限制片长多态性分析检测其基因型, 比较各组间基因型和等位基因频率, 并分析其与 2 型糖尿病颈动脉粥样硬化的相关性。结果 糖尿病组 CT 和 TT 基因型和 T 等位基因频率与对照组相比差异无显著性, 糖尿病合并颈动脉粥样硬化组 CT 和 TT 基因型和 T 等位基因频率与糖尿病非颈动脉粥样硬化组相比显著升高($P < 0.05$)。基质金属蛋白酶 9 T 等位基因是 2 型糖尿病颈动脉粥样硬化的危险因素($OR = 2.160$, 95% CI 为 1.026~4.547)。结论 基质金属蛋白酶 9 基因 C1562T 多态性与 2 型糖尿病颈动脉粥样硬化有相关性。T 等位基因可能是 2 型糖尿病颈动脉粥样硬化的易感基因。

[中图分类号] R5

[文献标识码] A

The Association Between Polymorphism of Matrix Metalloproteinase-9 Gene and Carotid Artery Arteriosclerosis in Type 2 Diabetes Mellitus

PAN Yong-Xiang¹, LIANG Li-Ping², and LIU Jian-Xiang³

(Department of Cardiovascular, the Second Hospital of Guilin, Guangxi 541001, China)

[KEY WORDS] Type 2 Diabetes Mellitus; Matrix Metalloproteinase-9; Gene Polymorphism; Atherosclerosis

[ABSTRACT] Aim To investigate the association between a 1562C→T mutation of matrix metalloproteinase-9 (MMP-9) gene and carotid artery arteriosclerosis in type 2 diabetes mellitus (T2DM) of Guilin. Methods A case control study for 158 Guilin Han Chinese subjects (including 98 type 2 diabetes mellitus and 60 normal control) was performed. The number of the 1562 C→T mutation alleles were determined by polymerase chain reaction restriction fragment length polymorphism (PCR-RFLP) method. Results The frequencies of genotype and allele showed no significant difference between control groups and T2DM group, and the frequency of the T genotype and T allele at 1562 were significantly higher in T2DM with carotid artery arteriosclerosis group than in T2DM without carotid artery arteriosclerosis group and control subjects ($P < 0.05$). The analysis showed that MMP-9 T allele was an important risk factor of carotid artery arteriosclerosis in T2DM ($OR = 2.160$, 95% CI: 1.026~4.547).

Conclusion The T allele of C1562T polymorphism of MMP-9 gene is related to carotid artery arteriosclerosis in Guilin T2DM. The T allele may be a risk factor.

基质金属蛋白酶 9 (matrix metalloproteinase-9, MMP-9) 启动子区的 C1562T 基因变异与动脉粥样硬化关系密切^[1], 2 型糖尿病 (type 2 diabetes mellitus, T2DM) 大血管并发症主要表现为动脉粥样硬化。在动脉粥样硬化早期, 最早受累的是颈动脉内膜^[2]。本研究就 MMP-9 第 1562 外显子 C→T 点突变多态性与 T2DM 颈动脉粥样硬化的关系进行探讨。

1 对象和方法

1.1 研究对象

2 型糖尿病患者 98 例, 其中男 50 例, 女 48 例,

年龄 64.78 ± 8.31 岁, 病程 11.49 ± 3.98 年, 符合 1999 年 WHO 提出的 2 型糖尿病诊断及分型标准。根据有无颈动脉粥样硬化分为两组: ①无颈动脉粥样硬化组 36 例, 其中男 16 例, 女 20 例, 年龄 64.82 ± 8.15 岁, 病程 7.89 ± 1.86 年; ②颈动脉粥样硬化组 62 例, 其中男 34 例, 女 28 例, 年龄 64.72 ± 8.70 岁, 病程 8.18 ± 2.90 年。两组性别、年龄、病程之间差异无显著性, 有可比性。选择同期在我院体检的健康个体 60 名, 其中男 32 名, 女 28 名, 年龄 60.40 ± 5.34 岁, 为无亲缘关系的健康体检者, 与 2 型糖尿病组相匹配, 无心、脑、肝、肾脏病史。所有研究对象均为桂林地区汉族人群, 无血缘关系; 无肺气肿、自身免疫性疾病、恶性肿瘤及其他内分泌疾病。

[收稿日期] 2008-04-16 [修回日期] 2008-09-10

[作者简介] 潘勇翔, 硕士, 主治医师, 研究方向为糖尿病动脉粥样硬化病变, E-mail 为 pyxsky@yahoo.com.cn。梁丽萍, 主治医师。

1.2 颈动脉粥样硬化的诊断

参照文献[2],选用彩色多普勒超声仪(12.5L, 7.5 MHz, 线阵探头),测量双侧颈动脉内膜中膜厚度(intima-media thickness, IMT),增厚为IMT \geqslant 1.0 mm,斑块为IMT \geqslant 1.3 mm或一个管腔狭窄均视为颈动脉粥样硬化。

1.3 基因型检测

取EDTA抗凝血2 mL,用氯仿饱和酚法提取基因组DNA。PCR扩增MMP-9 C1562T位点及其侧翼,引物序列上游5'-GCC TGG CAC ATA GTA GGC CC-3',下游5'-CTT CCT AGC CAG CCG GCA TC-3',由上海生物工程有限公司合成。总反应体积30 μ L,其中含10×Buffer 3.0 μ L,2.5 mmol/L dNTP 2.0 μ L,25 mmol/L MgCl₂ 1.8 μ L,12.5 μ mol/L引物1 0.2 μ L,12.5 μ mol/L引物2 0.2 μ L,3 Mu/L TaqDNA 0.3 μ L,DdH₂O 23.3 μ L,样品1.2 μ L,合计30.0 μ L。反应条件:95℃预变性5 min,94℃变性1 min \rightarrow 60℃退火1 min \rightarrow 72℃延伸1 min,35个循环,最后72℃延伸5 min。PCR由PE2400型PCR扩增仪完成。扩增产物用2%琼脂糖凝胶于100 V电泳30 min,使所要的扩增产物与非特异产物尽量分开,于紫外灯下切取含435 bp光亮条带的凝胶,按照UNIQ5柱式PCR产物回收试剂盒说明书的操作步骤进行回收纯化(试剂盒购自上海生物工程有限公司)。含限制性内切酶Pae iv(10 Mu/L) 0.5 μ L,10×Buffer 2 μ L,DdH₂O 14.5 μ L,PCR扩增产物3 μ L,总反应体积20 μ L。混匀后于37℃孵育12 h,取出后置于65℃水浴15 min终止反应。酶切产物用2%琼脂糖凝胶于100 V电泳30 min,紫外灯下确定其基因型。

1.4 统计学分析

以Hardy-Weinberg平衡检验样本的群体代表性确认各基因频率达到遗传平衡。组间比较采用 χ^2 检验, $P<0.05$ 为差异有统计意义。

表1. 基质金属蛋白酶9基因型和等位基因频率分布

项目	对照组 (n=60)	T2DM组 (n=98)	无颈动脉粥样硬化组(n=36)	颈动脉粥样硬化组(n=62)
基因型频率				
CC	49 (0.73)	71 (0.72)	31 (0.86)	40 (0.65) ^a
CT	10 (0.25)	24 (0.24)	4 (0.11)	20 (0.32) ^a
TT	1 (0.02)	3 (0.04)	1 (0.03)	2 (0.03)
CT 和 TT	11 (0.27)	27 (0.28)	5 (0.14)	22 (0.35) ^a
等位基因频率				
C	108 (0.90)	166 (0.85)	66 (0.92)	100 (0.81) ^a
T	12 (0.10)	30 (0.15)	6 (0.08)	24 (0.19) ^a

^a为 $P<0.05$,与对照组和无颈动脉粥样硬化组比较。

2 结果

2.1 聚合酶链反应产物酶切鉴定

PCR产物长度为435 bp,酶切后发现MMP-9基因存在多态性。MMP-9基因1562位点存在两个等位基因C和T,T型MMP-9可被Pae iv酶切为247 bp和188 bp两个片段。C、T两种等位基因组合成CC、CT、TT三种基因型(图1)。

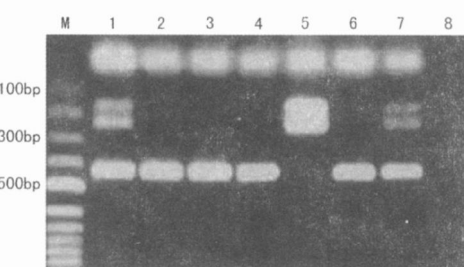


图1. Pae iv酶切结果 1和7为CT基因型(435 bp、247 bp和188 bp),2、3、4和6为CC基因型(435 bp),5为TT基因型(247 bp和188 bp),8为阴性对照。

2.2 基质金属蛋白酶9基因型和等位基因的分布

对照组和2型糖尿病组MMP-9基因均存在C、T两种等位基因和CC、CT、TT三种基因型,对照组符合Hardy-Weinberg遗传平衡检验。CT和TT基因型和T等位基因频率在2型糖尿病组、糖尿病无颈动脉粥样硬化组和对照组差异无显著性,而在糖尿病颈动脉粥样硬化组显著高于对照组($P=0.039$)。CT和TT基因型OR=2.450,95%CI为1.062~5.650;T等位基因OR=2.160,95%CI为1.026~4.547。颈动脉粥样硬化组CT和TT基因型和T等位基因频率也显著高于无颈动脉粥样硬化组($P=0.021$),CT和TT基因型OR=2.640,95%CI为1.024~6.806;T等位基因OR=3.410,95%CI为1.160~10.025(表1)。

3 讨论

机体降解细胞外基质主要是 MMP, 其中 MMP-9 被认为在动脉粥样硬化和血管重建过程中起着相当重要的作用^[4], 有研究表明糖尿病患者(尤其合并大血管病变者)血浆和动脉壁中有较高的 MMP-9 表达^[5,6]。人类 MMP-9 基因位于人第 20 号染色体长臂(20q11.2-q13.1), MMP-9 酶原主要由中性白细胞和巨噬细胞产生。

本研究中, CT 和 TT 基因型频率和 T 等位基因频率分布在正常组与 2 型糖尿病组中差异无显著性, 表明 MMP-9 C1562T 与 2 型糖尿病没有明显相关性, 这与刘宽芝等^[7]报道的结果相似, MMP-9 C1562T 基因多态性可能不是桂林地区汉族人群 2 型糖尿病的主要遗传因素。

Marx 等^[5]检测了糖尿病和糖尿病合并大血管病变患者血浆 MMP-9 水平, 在年龄、性别、体质指数均衡下发现较非糖尿病组显著升高。Uemura 等^[6]在糖尿病动物模型中发现 MMP-9 在血管组织和血浆中显著增高, 高糖促进了内皮细胞 MMP-9 mRNA 和蛋白的表达, 提示糖尿病状态下 MMP-9 活力升高可能有助于糖尿病动脉粥样硬化的发展。有研究表明 MMP-9 C1562T 基因多态性可影响其产物的表达, 并发现在冠心病患者中 MMP-9 的 T 等位基因频率与血浆 MMP-9 浓度水平高度相关^[1,8]。最近研究发现在 MMP 系统中只有 MMP-9 1562CT 和 279RQ 基因多态性与急性心肌梗死有关及 MMP-1/MMP-3 与冠心病有关^[9]。因糖尿病大血管并发症主要为动脉粥样硬化, 而大血管并发症以临床合并心脑周围血管疾病为标准存在一定误差。有研究表明在动脉粥样硬化早期, 最早受累的是颈动脉内膜^[2]。本研究以检测颈动脉 IMT 为标准判断动脉粥样硬化, 较为简单可行, 结果发现 2 型糖尿病颈动脉粥样硬化组 T 等位基因和 CT/TT 基因型频率显著高于对照组和无颈动脉粥样硬化 2 型糖尿病组, T 等位基因携带者颈动脉粥样硬化的发生率显著增加, 提示在我国 MMP-9 C1562T 基因多态性与 2 型糖尿病颈动脉粥样硬化存在相关, T 等位基因携带者颈动脉粥样硬化的发生率显著增加, 考虑与 T 等位基因携带者较

C 等位基因携带者 MMP-9 基因启动子的转录活性增加, 其结果导致 MMP-9 表达上调有关^[1]。增高的 MMP-9 可通过其生物学效应来发挥作用: 通过降解血管壁细胞外基质, 有利于血管平滑肌细胞突破周围组织屏障, 从中膜向内膜迁移进行增殖, 摄入脂质分泌更多细胞外基质, 形成动脉粥样硬化斑块; 其次可破坏斑块表面的纤维帽, 使斑块易于发生破裂, 继发血栓形成和机化, 导致动脉粥样硬化损伤进展和斑块扩大; 此外, MMP-9 还可破坏细胞与基质间的相互作用, 诱导血管平滑肌细胞发生凋亡, 从而加速动脉粥样硬化进程^[10]。

无论 2 型糖尿病或动脉粥样硬化都与多种遗传和环境因素有关, 若能采取队列研究、多中心、大样本、结合家系连锁分析等方法进行深入研究, 相信可以明确 MMP-9 C1562T 基因多态性在 2 型糖尿病颈动脉粥样硬化中的作用。

[参考文献]

- [1] Zhang B, Ye S, Hermann SM, et al. Functional polymorphism in the regulatory region of gelatinase B gene in relation to severity of coronary atherosclerosis [J]. *Circulation*, 1999, **99**: 1 788-794.
- [2] 陈忠, 马根山, 黄峻, 等. 早发冠心病患者颈动脉内膜中膜厚度特点及其预测价值[J]. 中国动脉硬化杂志, 2004, **12** (1): 81-83.
- [3] 李建初, 袁光华, 柳文仪, 等. 血管和浅表器官彩色多普勒超声诊断学[M]. 北京: 北京医科大学和中国协和医科大学联合出版社, 1999; 51.
- [4] Zaltsman AB, Newby AC. Increased secretion of gelatinases A and B from the aortas of cholesterol fed rabbits: relationship to lesion severity [J]. *Atherosclerosis*, 1997, **130**: 61-70.
- [5] Marx N, Froehlich J, Siam L, et al. Antidiabetic PPAR gamma activator rosiglitazone reduces MMP-9 serum levels in type 2 diabetic patients with coronary artery disease [J]. *Arterioscler Thromb Vasc Biol*, 2003, **2**: 283-288.
- [6] Uemura S, Matsushita H, Li W, et al. Diabetes mellitus enhances vascular matrix metalloproteinase activity: role of oxidative stress [J]. *Circ Res*, 2001, **12**: 1 291-298.
- [7] 刘宽芝, 陈雅静, 王战建, 等. 基质金属蛋白酶 9 基因多态性与 2 型糖尿病血管病变的相关性研究[J]. 中华内分泌代谢杂志, 2003, **12**: 442-444.
- [8] Blankenberg S, Rupprecht HJ, Poirier O, et al. Plasma concentrations and genetic variation of matrix metalloproteinase-9 and prognosis of patients with cardiovascular disease [J]. *Circulation*, 2003, **4**: 1 579-585.
- [9] Horne BD, Camp NJ, Carlquist JF, et al. Multiple polymorphism associations of 7 matrix metalloproteinase and tissue inhibitor metalloproteinase genes with myocardial infarction and angiographic coronary artery disease [J]. *Am Heart J*, 2007, **154** (4): 751-758.
- [10] Pasterkamp G, Schoneveld AH, Hijnen DJ, et al. Atherosclerotic arterial remodeling and the localization of macrophages and matrix metalloproteinases 1, 2 and 9 in the human coronary artery [J]. *Atherosclerosis*, 2000, **150**: 245-253.

(此文编辑 文玉珊)